



سنجش از دور

،  
GIS ایران



سال ششم، شماره سوم، پاییز ۱۳۹۳  
Vol. 6, No. 3, Autumn 2014

سنجش از دور و GIS ایران  
Iranian Remote Sensing & GIS

۵۱-۶۵

## ارزیابی پایداری پارامترهای مدلی پالیبراسیون لیزراسکنر زمینی

الناز محمد زنجانی‌پور<sup>۱\*</sup>، مسعود ورشوسراز<sup>۲</sup>، محمد سعادت‌سرشت<sup>۳</sup>

۱. مریم گروه مهندسی نقشه‌برداری، دانشکده نقشه‌برداری، دانشگاه صنعتی خواجه نصیرالدین طوسی

۲. استادیار گروه مهندسی نقشه‌برداری، دانشکده نقشه‌برداری، دانشگاه صنعتی خواجه نصیرالدین طوسی

۳. استادیار گروه مهندسی نقشه‌برداری، پردیس دو دانشکده‌های فنی، دانشگاه تهران

تاریخ پذیرش مقاله: ۱۳۹۳/۱۲/۱۷

تاریخ دریافت مقاله: ۱۳۹۱/۸/۱۶

### چکیده

عوامل گوناگونی بر کیفیت نتایج حاصل از لیزراسکنر زمینی اثرگذارند و از آنجا که دقت اسکنر تا حد زیادی با خطاهای دستگاهی سیستماتیک محدود می‌شود، باید کالیبیره شود. کالیبراسیون در عمل پیش‌نیازی است برای استخراج اطلاعات دقیق و قابل اعتماد سه‌بعدی از ابرنقاط. تاکنون مدل‌های مختلفی که هر یک چند پارامتر فیزیکی را در بر می‌گیرند برای بهبود کیفیت داده‌های لیزر اسکنر ارائه شده است. در ادامه بعد از مشاهده نمودار مقادیر باقی‌مانده، پارامترهای تجربی به مدل‌های آنها اضافه شده است. این مسئله سبب ایجاد این ضرف در مدل می‌شود که فقط برای همان دسته از مشاهده‌ها قابل استفاده‌اند، چون ممکن است این پارامترهای تجربی در جای دیگری کارساز و پایدار نباشند و می‌بایست پارامترهای دیگری را جایگزین آنها کرد. در مطالعات گذشته نویسنده‌گان مدل جدیدی ارائه شد که به صورت پارامتریک است و با استفاده از آن امکان کالیبراسیون لیزراسکنر به طور عام وجود دارد. از آنجاکه پایداری پارامترهای مدل‌ها اهمیت زیادی دارد، در نوشتار حاضر براساس ساختار داخلی دستگاه، پایداری پارامترهای یک مدل پارامتریک که برای کالیبراسیون ابرنقاط به دست آمده ارائه شده است و وابستگی آنها با تغییر ساختار دستگاه به طور دقیق و از طریق آزمایش‌های متعدد در این مقاله بررسی شده است. با محاسبه پارامترهای مدل و ارزیابی وابستگی آنها و اعمال آنها بر داده‌های ابرنقاط مشاهده می‌شود که این مدل با پایداری نسبی پارامترهای لیزراسکنر زمینی را بهبود بخشد.

**کلیدواژه‌ها:** لیزراسکنر زمینی، کالیبراسیون، ابرنقاط، مدل پارامتریک.

\* نویسنده مکاتبه‌کننده: تهران، خیابان ولی عصر، تقاطع خیابان میرداماد، دانشگاه خواجه نصیرالدین طوسی، دانشکده نقشه‌برداری، آزمایشگاه فتوگرامتری تحلیلی  
تلفن: ۰۹۱۲۳۵۴۹۵۳۸

**۱- مقدمه**

تغییرات باقیماندها که خاص همان پروژه و همان مشاهدهها هستند، استفاده شد، پژوهش اشنایدر (۲۰۰۹) بود که در مدل خود به بهبود دقت ۱۲ و ۲۰ درصد به ترتیب در جهت‌های طول و زاویه افقی و زاویه قائم برای دستگاه RiEGL LMS-Z390i رسید (Schneider, 2009). چو و همکاران (Schneider, 2009) دو آزمایش متفاوت در اتاق‌هایی با ابعاد مختلف و با دو مدل برای کالیبراسیون دستگاه (GS200) و Mensi Trimble GX انجام دادند و در هر دو حالت به این نتیجه رسیدند که مدلی که پارامترهای فیزیکی بیشتری دارد، به نتایج بهتری رسیده است (Chow et al., 2009). از دیگر فعالیت‌ها می‌توان به پژوهش گیلزدورف و ریتدورف (۲۰۰۴) اشاره کرد که روشی را برای کالیبراسیون لیزراسکنر زمینی به کمک تارگت‌های صفحه‌ای ارائه کردند و مجموعه پارامترهای اضافی آنها شامل ترم‌هایی برای مدل کردن خطای محور افقی یا تیلت و خطای شاخص قائم و کلیماسیون و خطای صفر فاصله‌یاب بود. آنها مزیت استفاده از تارگت‌های صفحه‌ای را افزون‌گی بیشتر داده‌ها بر شمردند (Gielsdorf & Rietdorf, 2004).

نحوه تشکیل میدان آزمون به فرمول‌های استفاده شده برای کالیبراسیون ارتباطی ندارد و مدل‌های مورد استفاده همواره یکسان هستند و می‌توان از هریک استفاده کرد. هر کدام از مدل‌هایی که برای بهبود کیفیت داده‌های لیزراسکنر ارائه شده‌اند، در برگیرنده چند پارامتر فیزیکی هستند و بعد از مشاهده نمودار مقادیر باقیمانده، پارامترهای تجربی به مدل‌های آنها اضافه شده است. بنابراین فقط برای همان دسته از مشاهدات می‌توان از آنها استفاده کرد، چون ممکن است این پارامترهای تجربی در جای دیگری کارساز نباشند و پایداری نداشته باشند و ضرورت یابد پارامترهای دیگری جایگزین آنها شود. در همین زمینه در پژوهش حاضر مدلی که ارزیابی پارامترهای آن

1. Reshetyuk

هدف از انجام کالیبراسیون لیزراسکنر، مقایسه دقت واقعی دستگاه در عمل با روش‌های دقیق است تا با تشخیص انواع خطاهای محتمل در داده‌ها، روندی برای مدل‌سازی و خنثی کردن تأثیری که عوامل مختلف بر کیفیت هندسی این داده‌ها می‌گذارند، ارائه شود. تشکیل میدان کالیبراسیون در حالت کلی موضوع پیچیده‌ای نیست و می‌توان آن را از طریق سیاری از استفاده کننده‌های TLS یا همان Terrestrial laser scanner انجام داد. از نخستین فعالیت‌ها در خصوص کالیبراسیون از نوع میدان آزمون، استفاده از تشابه تئودولیت و لیزراسکنر زمینی است که لیچتی و لیچت (۲۰۰۶) آن را ارائه کردند. در تحقیق آنها مدل ریاضی برای کالیبراسیون TLS ارائه شد و معادلات مشاهده‌ها در سیستم مختصات قطبی و مشاهده‌های دستگاه انحراف سنج به کار گرفته شدند. میزان بهبود هریک از مشاهده‌ها بعد از اعمال پارامترها کاملاً مشهود بود. بهبود دقت با به کارگیری این روش در حدود ۲۲ و ۲۷ درصد به ترتیب برای  $\rho$  و  $\theta$  و  $\varphi$  به دست آمد (Lichti & Lichti, 2006). نتایج کالیبراسیون را با مدل‌های خطای پنج‌ضریبه روی سه اسکنر Lieca HDS 3000، Leica HDS 2500 و Callidus 1.1 ارائه کرد. برای این منظور نیز با درنظر گرفتن شباهت خطاهای سیستماتیک دستگاه لیزراسکنر و توقیل استیشن، عملیات کالیبراسیون انجام گرفت. در نهایت دقت مختصات تارگت برای callidus 1.1 برابر چهار میلی‌متر و برای Leica 3000 برابر پنج میلی‌متر و برای Leica 2500 برابر دو میلی‌متر تعیین گردید، دقت زاویه قائم برای اسکنرهای Callidus 1.1 و Leica 3000 بهتر از افقی بود، در حالی که برای 2500 دقت‌ها مشابه به دست آمدند (Reshetyuk, 2006). از فعالیت‌های دیگری که در زمینه کالیبراسیون نقطه‌ای انجام شد و در همه آنها به نوعی برخی پارامترهای فیزیکی ساختار داخلی لیزراسکنر و همچنین پارامترهای تجربی به دست آمده از مشاهده روند

## ارزیابی پایداری پارامترهای مدلی پارامتریک در کالیبراسیون لیزراسکنر زمینی

تارگت‌ها به قطر پنج سانتی‌متر برش لیزری داده شده بودند و در مرکز آنها سوراخی با لیزر ایجاد شده بود. شکل ۱ تصویر پانورامی اتاق آزمون را نشان می‌دهد. با توجه به دسترس‌بودن لیزراسکنر ریگل مدل LMS Z420i، این دستگاه برای اجرای آزمون انتخاب شد. از مزایای این دستگاه توانایی دوران ۳۶۰ درجه حول محور قائم خود و ۸۰ درجه در جهت قائم آن است، که امکان برداشت ابرنقشه‌ای از مناطق شبیدار را نیز فراهم می‌کند. دوربین رقومی غیرمتريک مورد استفاده نيز Nikon D200 است. از خصوصيات مهم اين دوربین، ابعاد کوچک آرایه‌های آن است که قدرت تفکیک مناسبی را به دست می‌دهد. شکل ۲ نوع دوربین و لیزراسکنر استفاده شده را نشان می‌دهد.

جدول‌های ۱ و ۲، مشخصات فنی دوربین رقومی و لیزراسکنر زمینی را نشان می‌دهند.

مدنظر است ارائه و پارامترهای آن محاسبه می‌شوند. بعد از ارزیابی میزان وابستگی پارامترها و حذف پارامترهای وابسته، میزان بهبود دقت نتایج پس از اعمال مدل ارزیابی می‌شود و در نهایت پایداری پارامترها با تغییر ساختار لیزراسکنر بررسی خواهد شد.

### ۲- مواد و روش تحقیق

به منظور ارائه مدل پیشنهادی و روش انجام تحقیق آن ابتدا محل مطالعه و ابزار مورد استفاده معرفی می‌شوند.

### ۲-۱- مشخصات اتاق آزمون و ابزار مورد استفاده

اتاق آزمون استفاده شده، آزمایشگاه فتوگرامتری در دانشگاه تهران به ابعاد  $5 \times 15$  متر مربع انتخاب شد که در قسمت‌های مختلف آن ۹۷ تارگت دایره‌ای شکل از جنس شبرنگ نقره‌ای و دارای بازتابندگی مناسب به صورت ستون‌های نسبتاً منظم چسبانده شدند. این



شکل ۱. تصویر پانورامی اتاق آزمون



شکل ۲. دوربین رقومی Nikon D200 و لیزراسکنر ریگل مدل LMS Z420i

جدول ۱. خصوصیات دوربین رقومی غیرمتريک Nikon D200 (www.dpreview.com)

فاصله کانونی	۱۴ ميلی‌متر
تعداد پیکسل‌های ثبت شده	$3872 \times 2592$
ابعاد دوربین	$147 \times 113 \times 74$ ميلی‌متر
وزن دوربین	۸۳۰ گرم بدون باتری
سرعت شاتر	۱/۸۰۰۰-۳۰ ثانية

جدول ۲. خصوصیات لیزراسکنر زمینی ریگل مدل LMS Z420i

نام سری و دستگاه	لیزراسکنر سه بعدی سری Z 420i	Riegl
شرکت سازنده	کلاس ایمنی لیزر	کلاس ۱ (ایمن برای چشم)
دقت اندازه‌گیری طول	حداقل برد	۱۰ میلی‌متر
برد فاصله‌یابی بدون استفاده از رفلکتور	برد فاصله‌یابی	دو متر
زاویه میدان دید در صفحه افق حول محور قائم	زاویه میدان دید	۸۰۰ متر
حد تفکیک زاویه‌ای قائم	حد تفکیک زاویه‌ای	۳۶۰ درجه
حد تفکیک زاویه‌ای افق	حد تفکیک زاویه‌ای	۸۰ درجه
طول موج لیزر	مادون قرمز نزدیک (Near IR)	۰/۰۰۲ درجه
سرعت اندازه‌گیری نقاط	۱۲۰۰ نقطه در ثانیه	۰/۰۰۲۵ درجه

سانسی‌متربربع درمی‌آمدند و روی آنها حدود ۹۳ تارگت چسبانده شده بود، انتخاب شد. تارگت‌های استفاده شده در این مرحله از نوع تارگت‌های بازتابنده و ارزان قیمت و از برچسب‌هایی بهرنگ سیاه مات و شبرنگ‌هایی بهرنگ نقره‌ای و دارای بازتابندگی بود. به نظرور تهیه تارگت‌ها هر دو برچسب سیاه و نقره‌ای به ابعاد  $2 \times 2$  سانتی‌متربربع بريده شدند و مرکز برچسب سیاه‌رنگ با يك پانچ مناسب به اندازه پنج میلی‌متر سوراخ گردید و سپس برچسب سیاه روی برچسب نقره‌ای چسبانده شد. لبه‌های پانچ استفاده شده نيز به گونه‌ای بودند که سوراخ‌ها کاملاً بهشکل دایره‌ای ايجاد شوند. در ادامه، عکس گرفته شد، به گونه‌ای که در برخى از استقرارها دوربین يك عکس می‌گيرد، درجه ۹۰ می‌چرخد و عکس دیگری گرفته می‌شود تا وابستگی پارامترهای دوربین از بين برويد یا کاهش بیابد. سپس عکس‌ها در نرم‌افزار وارد و پردازش می‌شوند. در اين فرایند، شش scale bar نيز که طول آنها از قبل به دقت اندازه‌گیری شده است، در تست فيلد در نظر گرفته شدند. شكل ۳ میدان آزمون استفاده شده و نحوه قرارگیری دوربین را برای عکسبرداری نشان می‌دهد. خطوط موجود در میدان آزمون نمایانگر scale bar هستند.

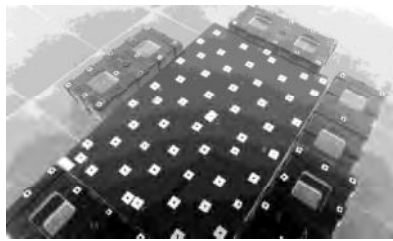
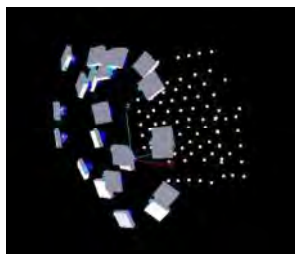
روند اجرایی دنبال شده برای کالیبراسیون لیزراسکنر در ادامه شرح داده می‌شود.

## ۲-۲- تعیین دقیق مختصات تارگت‌های اتاق آزمون

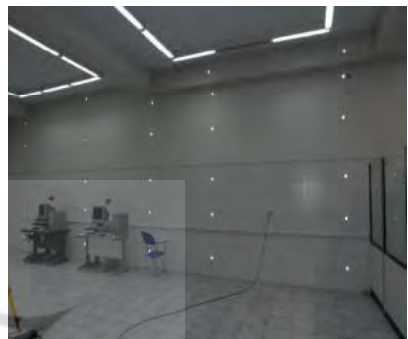
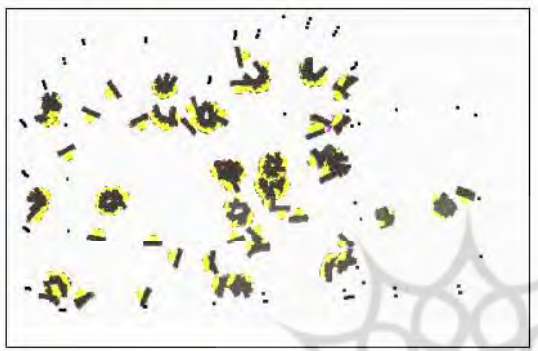
از آنجاکه این مرحله مبنایی دقیق برای ارزیابی دقیق مشاهدات لیزراسکنر دارد، انجام آن به شدت مورد نیاز است. در این بخش ابتدا از طریق پیش‌کالیبراسیون، پارامترهای توجیه داخلی دوربین شامل فاصله کانونی - موقعیت pp یا همان Principal point - پارامترهای مدل‌ساز اعوجاج شعاعی تعیین می‌شوند و سپس با عکسبرداری از اتاق آزمون، مختصات تارگت‌ها در نرم‌افزار australis تعیین می‌شوند.

### ۲-۲-۱- پیش‌کالیبراسیون دوربین رقومی

در این مرحله ابتدا پیش از برداشت عکس‌های لازم برای پروژه، به منظور به دست آوردن پارامترهای دوربین، پیش‌کالیبراسیون صورت پذیرفت. میدان آزمون موجود در آزمایشگاه برای پیش‌کالیبراسیون، يك تخته mdf يا در آزمایشگاه برای پیش‌کالیبراسیون، يك تخته Medium Dencity Fibernation یونولیت که در کار هم به ابعاد  $120 \times 160$  هستند.



شکل ۳. تصویر راست: میدان آزمون استفاده شده در پیش کالیبراسیون دوربین رقومی به همراه barها.  
تصویر چپ: نحوه قرارگیری دوربین برای عکسبرداری



شکل ۴. تصویر راست: نمونه‌ای از تصاویر دریافت شده از اتاق آزمون. تصویر چپ: نحوه قرارگیری دوربین و جهت عکسبرداری

می‌شود. کوشش شده است در هر ایستگاه از چندین زاویه عکسبرداری شود، به گونه‌ای که در هر عکسبرداری بیشترین تعداد تارگت‌ها قابل مشاهده باشند و مجدداً در تعدادی از ایستگاه‌ها چرخش  $90^{\circ}$  درجه دوربین به منظور کاوش وابستگی پارامترهای آن صورت پذیرفته است.

پیش از انجام روند سرشکنی در این مرحله، به منظور محاسبه مختصات نقاط در مقیاس حقیقی، نیاز به داشتن اندازه‌های دقیق تعدادی scale bar بود. این طول‌ها می‌توانستند بین تعدادی از تارگت‌های موجود در اتاق آزمون اختیار شوند. از آنجاکه ابزار دقیقی برای اندازه‌گیری آنها در اختیار نبود و تنها وسیله در دسترس متر فلزی بود که در چنین اندازه‌گیری‌هایی نمی‌تواند ابزار دقیقی به شمار آید و قرارگیری کاملاً افقی یا کاملاً عمودی و خواندن آن از خطاهای انسانی محسوب می‌شود، در نتیجه نهایی اثرگذار خواهد بود. بنابراین تصمیم گرفته شد که مختصات تعدادی از تارگت‌ها به وسیله توتال استیشن

با نوشتمندو معادله شرط هم خطی به عنوان معادله مشاهده برای هر تارگت و یک معادله برای هر bar و درنظر گرفتن پارامترهای توجیه داخلی دوربین، شش پارامتر توجیه خارجی هر عکس و سه پارامتر مختصات برای هر نقطه به عنوان مجهولات با  $861$  درجه آزادی و با انجام سرشکنی، نرم‌افزار RMSE نهایی را برای طول‌های Root Mean Square Error مینما به میزان  $0.090$  میلی‌متر ارائه کرد.

بعد از محاسبه پارامترهای توجیه داخلی دوربین به منظور محاسبه مختصات دقیق تارگت‌های اتاق آزمون،  $205$  عکس از نقاط مختلف یعنی  $97$  تارگت اتاق به وسیله دوربین رقومی گرفته می‌شود. سپس عکس‌ها در نرم‌افزار وارد می‌شوند و پردازش می‌گردند. در این قسمت مقادیر پارامترهای دوربین محاسبه شده در مرحله پیش کالیبراسیون در نرم‌افزار وارد و در طول فرایند، ثابت در نظر گرفته می‌شوند. در شکل ۴ نمونه‌ای از تصاویر دریافتی از تارگت‌ها و نحوه قرارگیری دوربین و جهت عکسبرداری مشاهده

نیاز است که در محاسبه‌ها شرکت نکرده‌اند. برای این منظور لازم است داده‌ها از استقرارهای دیگری نیز برداشت شوند. ۲) روند معمول در هر پروژه لیزراسکنر این است که دستگاه در چند ایستگاه و بیش از یک ایستگاه، مستقر شود و برداشت را انجام دهد. ۳) یکی از تحقیقات صورت گرفته در ادامه محاسبه مجدد پارامترهای مدل در تغییر وضعیت اجزای مختلف دستگاه، به منظور ارزیابی پایداری ضرایب است که برای انجام آن می‌باشد در حالت‌های مختلف برداشت صورت پذیرد. براساس مطالب گفته شده، لیزراسکنر به منظور برداشت مختصات تارگت‌ها در سه ایستگاه LMSz420i مستقر شد و مشاهده‌ها به وسیله لیزراسکنر RIEGL انجام پذیرفت. با استقرار دستگاه در سه موقعیت، برداشت براساس مراحل زیر صورت گرفت: در موقعیت شماره یک که تقریباً وسط اتاق قرار داشت:

- الف) در دو ارتفاع متفاوت، ایستگاه S1 و S5؛
- ب) دو آزمیوت متفاوت صفر درجه و ۹۰ درجه، ایستگاه S1 و S2؛
- ج) دو تغییر در لمب قائم در شیب +۲۰ درجه و -۲۰ درجه، ایستگاه S4 و S3؛

و در دو مکان استقرار متفاوت دیگر در موقعیت‌های شماره دو و سه، ایستگاه S6 و S7 مستقر شد. بنابراین در کل هفت استقرار و ۹۷ تارگت نصب شده در اتاق آزمون به صورت دقیق برداشت شد. از دلایل اصلی این تنوع و تغییر ارتفاع و لمب‌های دستگاه در استقرارهای مختلف این بود که ارزیابی پایداری ضرایب مدل پیشنهادی در حالت‌های مختلف صورت پذیرد. شکل ۵ محل قرارگیری لیزراسکنر را در سه موقعیت در اتاق آزمون در تصویر پانوراما نشان می‌دهد.

قرائت شود و این نقاط به عنوان نقاط کنترل در سرشکنی وارد شوند، تا به این ترتیب مختصات نهایی تارگت‌ها در مقیاس حقیقی خود محاسبه گردد. در ادامه، نحوه محاسبه مختصات نقاط کنترل بیان می‌شود.

## ۲-۲-۲- انجام مشاهده‌های توتال استیشن و محاسبه مختصات

بعد از بستن شبکه نقشه‌برداری و محاسبه مختصات نقاط کنترل به وسیله توتال استیشن با دقت ۰/۶۷۸۹ میلی‌متر و ۰/۷۴۴۲ میلی‌متر و ۰/۴۶۲۶ میلی‌متر در راستای x و y و z، و قراردادن آنها در روند سرشکنی مشاهده‌های فتوگرامتری، و در نظر گرفتن تعداد معادلات (یعنی دو معادله برای هر نقطه کنترل  $2 \times$  تعداد نقاط دیده شده در هر عکس) و مجہولات (یعنی شش پارامتر توجیه خارجی هر عکس  $+$  تعداد تارگت‌ها  $+$  تعداد نقاط کنترل  $\times 3$  با درجه آزادی ۴۸۸۰) و به طریق سرشکنی محاسبات در نرم‌افزار انجام شد. RMSE نهایی به صورت ۰/۸۶۶۱، ۰/۹۸۷۸ و ۰/۷۸۹۴ میلی‌متر برای مقادیر x، y، z به دست آمد.

## ۳-۲- مشاهده‌های انجام شده با لیزراسکنر

در هر پروژه لیزراسکنر در استقرارهای مختلف مشاهده‌ها را برداشت می‌کند. محل قرارگیری در این استقرارها و تعداد آنها بر حسب نوع پروژه و ابعاد عارضه اسکن شده متفاوت است. در پروژه حاضر با یک استقرار دستگاه در مرکز اتاق، تمام تارگت‌ها برداشت می‌شوند و همین تک ایستگاه برای محاسبه پارامترهای مدل کافی بود. به سه دلیل عمده در استقرارهای دیگری نیز مشاهده‌ها برداشت شدن: ۱) بعد از محاسبه پارامترهای مدل، برای ارزیابی دقت و میزان بهبود آن به داده‌های



شکل ۵. محل قرارگیری لیزراسکنر در سه ایستگاه در تصویر پانوراما

خواهد بود و به صورت روابط (۱)، (۲) و (۳) نشان داده می‌شود.

$$\Delta\rho = a_0 + a_1 \cdot p + a_2 \cdot \sin(\varphi) \quad \text{رابطه (۱)}$$

$$\Delta\theta = b_1 \cdot \sec\phi + b_2 \cdot \tan\phi + b_3 \cdot \sin\theta + b_4 \cdot \cos\theta + b_5 \cdot \sin 2\theta + b_6 \cdot \cos 2\theta + b_7 \cdot p^{-1} + b_8 \cdot \theta \quad \text{رابطه (۲)}$$

$$\Delta\phi = c_0 + c_1 \cdot \phi + c_2 \cdot \sin\phi + c_3 \cdot \sin 2\phi + c_4 \cdot \cos 2\phi + c_5 \cdot p^{-1} + c_6 \cdot \sin 3\theta + c_7 \cdot \cos 3\theta \quad \text{رابطه (۳)}$$

در روابط مذکور،  $\Delta\rho$  و  $\Delta\theta$  و  $\Delta\phi$  میزان تصحیحاتی هستند که در نهایت به میزان مشاهدات طول و زاویه قائم و زاویه افقی اعمال می‌گردد. جدول ۳ تفسیر روابط مربوط به هر پارامتر را نشان می‌دهد:

به این ترتیب در سه رابطه (۱)، (۲) و (۳)، ۱۹ پارامتر فیزیکی که همگی با توجه به ساختار داخلی لیزراسکنر در نظر گرفته شده‌اند، به منظور کالیبراسیون و بهبود دقت داده‌ها و مشاهده‌های حاصل از این دستگاه معرفی شدند. در ادامه سعی بر آن خواهد بود که این پارامترها با توجه به مشاهدات انجام شده به وسیله دستگاه و به کمک روند سرشکنی محاسبه شوند و پس از آن وابستگی پارامترها در تغییر ساختار لیزراسکنر مورد ارزیابی قرار گیرد. هدف پژوهش حاضر، ارائه مدلی است که بتوان از آن برای دستگاه‌های لیزراسکنر استفاده کرد. بنابراین کوشش شده است که تمامی پارامترهای فیزیکی که مدل کننده خطاهای داخلی لیزراسکنر هستند در این مدل ارائه و معرفی شوند. پارامترهای تجربی‌ای که ممکن است در هر دسته از مشاهدات و برای هر دستگاه مشخص با مشاهده نحوه تغییر باقی‌مانده‌ها تعیین گردد، در مدل مذکور جای ندارند.

روندي که برای تعیین پارامترهای مدل پیشنهادی کالیبراسیون دنبال می‌شود، سرشکنی است که با نوشتمن معادلات مشاهده‌های لیزراسکنر و نوشتمن روابط ترانسفورماتیون کانفورمال سه‌بعدی بین مختصات در دو سیستم فتوگرامتری و لیزراسکنر صورت می‌پذیرد.

#### ۴-۲- محاسبه پارامترهای مدل پیشنهادی و

بررسی میزان بهبود دقت بعد از اعمال مدل

مدلی که برای کالیبراسیون پیشنهاد می‌شود شامل ۱۹ پارامتر فیزیکی است که براساس ساختار داخلی لیزراسکنر به دست آمده است و پارامتر تجربی در این خصوص وجود ندارد. این مدل به صورت زیر معرفی می‌شود:

از آنجاکه لیزراسکنرها مشابه با توتال استیشن‌های بدون رفلکتور عمل می‌کنند، اغلب پژوهشگران مدل خطای توتال استیشن را به عنوان مدل پایه برای کالیبراسیون انتخاب می‌کنند. در این مدل، پارامترهای کالیبراسیون چنین است: خطای صفر و مقیاس فاصله یاب لیزر، خطای محورهای افقی و کلیماسیون، خطای شاخص لمب قائم.

خطای صفر فاصله یاب دستگاه، جدایی بین موقعیت صفر الکتریکی و مکانیکی اسکنر است. خطای مقیاس نیز معادل یک مؤلفه مقیاس در فاصله اندازه‌گیری شده است. خطای کلیماسیون در صورت عدم بودن محور کلیماسیون بر محور افقی ایجاد می‌شود. خطای محور افقی به دلیل عدم بودن محور افقی بر محور قائم ایجاد می‌شود و خطای شاخص لمب قائم نیز در صورتی وجود دارد که وقتی پرتو لیزر کاملاً افقی ارسال شود، این لمب زاویه صفر را نشان ندهد. زمانی که خط دید افقی است، در توتال لمب قائم صفر مشاهده نمی‌شود. لازم به ذکر است که زاویه قائم، زاویه بین صفحه افق و پرتو لیزر است که زمانی که پرتو افقی است این زاویه باید صفر باشد اما مقداری را به عنوان زاویه قائم نشان می‌دهد که همان vertical circle error است و با مقدار ثابت ۰ به زاویه قائم خوانده شده اعمال می‌شود. افزون بر پارامترهای مذکور، نگاهی دقیق‌تر به ساختار داخلی لیزراسکنر نشان می‌دهد که خطاهای دیگری را نیز که امکان مدل‌سازی و حذف از مشاهده‌های لیزراسکنر را دارند می‌توان در این زمرة قرار داد.

مدلی که برای کالیبراسیون داده‌های لیزراسکنر معرفی می‌شود، شامل همه پارامترهای فیزیکی مذکور

جدول ۳. روابط مدل کننده خطاهای سیستماتیک لیزراسکنر زمینی در مدل پیشنهادی

خطای موجود	رابطه مدل کننده خطأ
خطای صفر فاصله باب	$a_0$
خطای مقیاس در فاصله	$a_1.p$
آفست پرتوی لیزر	$a_2.\sin(\varphi)$
خطای محور کلیماسیون	$b_1.\sec\varphi$
خطای محور افقی	$b_2.\tan\varphi$
خطای خروج از مرکزیت لمب افق	$b_3.\sin\theta + b_4.\cos\theta$
خطای عدم تعامد لمب افق و محور قائم	$b_5.\sin 2\theta + b_6.\cos 2\theta$
خطای خروج از مرکزیت افقی محور کلیماسیون	$b_7.\rho^{-1}$
خطای مقیاس در زاویه افقی	$b_8.\theta$
خطای شاخص لمب قائم	$c_0$
خطای مقیاس در زاویه قائم	$c_3.\sin 2\varphi$
خطای عدم تعامد محور افقی و لمب قائم	$c_3.\sin 2\varphi + c_4.\cos 2\varphi$
خطای خروج از مرکزیت قائم محور کلیماسیون	$c_5.\rho^{-1}$
خطای محور wobble	$c_6.\sin 3\theta + c_7.\cos 3\theta$

رابطه (۶)

$$\mathbf{x}_{\text{scanj}}^{(i)} = \begin{bmatrix} x_j^{(i)} \\ y_j^{(i)} \\ z_j^{(i)} \end{bmatrix} = \begin{bmatrix} (r_j^{(i)} - \Delta r) \cos(\varphi_j^{(i)} - \Delta\varphi) \cos(\theta_j^{(i)} - \Delta\theta) \\ (r_j^{(i)} - \Delta r) \sin(\varphi_j^{(i)} - \Delta\varphi) \cos(\theta_j^{(i)} - \Delta\theta) \\ (r_j^{(i)} - \Delta r) \sin(\theta_j^{(i)} - \Delta\theta) \end{bmatrix},$$

$i = 1, 2, \dots, p; j = 1, 2, \dots, m.$

در رابطه (۶)،  $r$  و  $\varphi$  و  $\theta$  به ترتیب فاصله و زاویه قائم و جهت افقی و همان مشاهدات خامی هستند که لیزراسکنر برداشت شده‌اند. مقادیر  $\Delta\rho$  و  $\Delta\theta$  و  $\Delta\varphi$  نیز به ترتیب مقادیر خطأ در جهت فاصله و زاویه قائم و جهت افقی هستند که لازم است محاسبه و از مشاهده‌های خام کسر شوند تا مقادیر مشاهده‌های بهبود یافته به دست آیند. این مقادیر در مدل ارائه شده در روابط (۴)، (۵) و (۶) محاسبه می‌شوند. نکته مهم دیگر در این بخش در اجرای محاسبات سرشکنی، داشتن مقادیر اولیه مجهولات است. برای این منظور و تعیین پارامترهای اولیه انتقال کانفورمال، از روابط Gielsdorf & Rietdor, quaternion استفاده شد (۶). (2004)

معادله مشاهده ترانسفورماتیون کانفورمال سه بعدی تارگت  $j$ -ام را که از ایستگاه  $i$ -ام اسکن شده است می‌توان به صورت رابطه (۴) نشان داد.

رابطه (۴)

$$f_j^i(L_j^i, \hat{X}_j^i) = X_{\text{photo } j}^i - [R(\omega^i, \varphi^i, \kappa^i) \cdot x_{\text{scan } j}^i + T^i]$$

$i = 1, 2, \dots, p \quad j = 1, 2, \dots, m$

که در آن،  $p$  تعداد استقرارهای دستگاه و  $m$  تعداد تارگت‌های اسکن شده در هر استقرار است. در رابطه (۴)،  $T$  و  $R$  به ترتیب شامل پارامترهای انتقال و دوران جهت ترانسفورماتیون بین مختصات لیزراسکنر و  $X_{\text{photo } j}^i$  فتوگرامتری در هر استقرار  $i$ -ام است. بردار مختصات تارگت  $j$ -ام را در سیستم مختصات فتوگرامتری به صورت رابطه (۵) بیان می‌کند.

رابطه (۵)

$X_{\text{photo } j} = (X_j \ Y_j \ Z_j)$  شامل بردار مختصات تارگت  $j$ -ام در استقرار  $i$ -ام در سیستم مختصات لیزراسکنر است، که در صورت اعمال رابطه تصحیح شده آن براساس رابطه (۶) به دست می‌آید.

باقی مانده‌های اشتباہی که از مشاهده‌های اشتباہ نتیجه می‌شوند و باید از مشاهده‌ها حذف شوند، انحراف معیار در سه ستون  $dx$  و  $dy$  و  $dz$  محاسبه و با اجرای تست ۵، باقی مانده‌های بیشتر از این مقادیر شناسایی و مشاهده‌های مربوط به آنها حذف می‌شوند. در این مرحله یک مشاهده اشتباہ یافت شد که دلیل آن سایه‌ای بود که روی آن ایجاد و باعث شده بود که دستگاه برداشت را به درستی انجام ندهد. در نهایت، با استفاده از اختلاف مختصات مشاهده‌های لیزراسکنر با داده‌های تبدیل شده فتوگرامتری، دقت اولیه مشاهده‌ها برحسب روابط به دست آمد.

رابطه (۸) و رابطه (۹)

دقت موقعیتی نقاط

$$RMS_{XYZ} = \sqrt{\sum(\Delta x^2 + \Delta y^2 + \Delta z^2)/n}$$

دقت نقاط در فاصله

$$RMS\rho = \sqrt{\sum(\Delta \rho)^2 / n}$$

$$\text{رابطه (۱۰) و رابطه (۱۱)}$$

دقت نقاط در جهت افقی

$$RMS\theta = \sqrt{\sum(\Delta \theta)^2 / n}$$

دقت نقاط در زاویه قائم

$$RMS\alpha = \sqrt{\sum(\Delta \alpha)^2 / n}$$

در رابطه‌های (۸)، (۹)، (۱۰) و (۱۱)،  $n$  تعداد کل تارگت‌های مشاهده شده و شامل ۱۳۲ عدد برای نقاط چک است. در نهایت، پس از تعیین مقادیر اولیه مجھولات، محاسبات اصلی سرشکنی صورت می‌پذیرد و مقادیر دقیق مجھولات تعیین می‌شود.

پس از تعیین پارامترهای مورد نظر، ازانجاكه ممکن است بین پارامترهای مدل پیشنهادی وابستگی وجود داشته باشد - که این موضوع بر دقت نهایی اثرگذار خواهد بود - پیش از هر کار دیگری لازم است با تعیین میزان وابستگی موجود بین مجھولات به دست آمده و

## ۵-۲- تعیین مقادیر اولیه مجھولات

با روند Quaternion، مقادیر اولیه سه پارامتر انتقال و سه پارامتر دوران محاسبه می‌شود. Quaternion یا چهارتایی‌ها، سیستمی عددی است که سیستم اعداد مختلط را گسترش می‌دهد. نخستین بار دانشمندی ایرلندی به نام ویلیام روان همیلتون در سال ۱۸۴۳ دسته اعداد را توصیف کرد و در مکانیک و در فضای سه بعدی آنها را به کار گرفت. فرم کلی کوانتنیون به این صورت است:  $q = q_0 + iq_1 + jq_2 + kq_3$ . با داشتن ماتریس چهارتایی و انتقال نقاط هر دو سیستم به مرکز ثقل آنها، پارامترهای انتقال نیز محاسبه می‌شوند. در ادامه، پارامتر مقیاس در این مرحله اعمال نشد، چون مدل پیشنهادی پارامتر مقیاس را در خود جای داده‌اند. مقادیر اولیه برای پارامترهای اضافه مدل کننده خطای سیستماتیک دستگاه، برابر صفر در نظر گرفته شدند، تا محاسبه دقت اولیه مشاهده‌ها بدون اعمال هیچ پارامتر اضافه‌ای امکان‌پذیر باشد. پس از محاسبه سه پارامتر انتقال و سه پارامتر دوران هر استقرار به منظور محاسبه دقت، ابتدا با اعمال پارامترهای انتقال روی ۵۰ نقطه چک، مختصات جدید آنها مطابق آنچه پیش‌تر گفته شد، به کمک رابطه (۷) محاسبه و اختلاف آن با مختصات نقاط موجود در سیستم فتوگرامتری که روش دقیق در نظر گرفته شده است و دارای خطای ۰/۸۶۶۱، ۰/۹۸۷۸ و ۰/۷۸۹۴ در جهات  $x$  و  $y$  و  $z$  است، به دست آمد.

$$\text{رابطه (۷)}$$

$$X^i_{\text{phototransfer}} = [R(\omega^j, \varphi^j, \kappa^j) \cdot X^i_{\text{scan}, j} + T^j]$$

$$i = 1, 2, \dots, p \quad j = 1, 2, \dots, m$$

در رابطه (۷)،  $R$  ماتریس دوران، و  $T$  ماتریس انتقال از سیستم مختصات لیزر به فتوگرامتری برای هر نقطه  $i$  در هر استقرار  $j$  است.

## ۶-۲- آشکارسازی مشاهده‌ها با خطای بزرگ (بلاندر)

بعد از تعیین مقادیر باقی مانده، به منظور تشخیص

پارامترهای  $c_5$  و  $c_4$  و  $c_3$  بر دقت نتایج تأثیر کمتری از سایر پارامترها می‌گذارند و باقی‌مانده را به میزان کمتری افزایش می‌دهند. درحالی که حذف پارامترهای  $c_1$  و  $a_2$  باعث افزایش شدید خطا و ایجاد خطای سیستماتیک می‌شود. بنابراین وجود دو ضریب  $a_2$  و  $c_1$  که مدل کننده آفست پرتوی لیزر و مقیاس زاویه قائم هستند، برای کاهش خطا و مدل‌سازی با دقت مناسب‌تر ضروری به نظر می‌رسد. به همین دلیل با حفظ این دو پارامتر، در مدل نهایی فقط ضرایب  $c_5$  و  $c_3$  از مدل حذف شدند.

به این ترتیب مدل نهایی با ۱۶ ضریب مدل کننده خطای سیستماتیک لیزراسکنر به صورت روابط (۱۳)، (۱۴) و (۱۵) درخواهد آمد.

$$\Delta\rho = a_0 + a_1 \cdot \rho + a_2 \cdot \sin\varphi \quad (13)$$

$$\text{رابطه} \quad (14)$$

$$\begin{aligned} \Delta\theta = b_1 \cdot \sec\phi + b_2 \cdot \tan\phi + b_3 \cdot \sin\theta + b_4 \cdot \cos\theta + \\ b_5 \cdot \sin 2\theta + b_6 \cdot \cos 2\theta + b_7 \cdot \rho^{-1} + b_8 \cdot \theta \end{aligned} \quad (15)$$

$$\Delta\phi = c_0 + c_1 \cdot \phi + c_2 \cdot \sin\phi + c_6 \cdot \sin 3\theta + \\ c_7 \cdot \cos 3\theta$$

که در آنها، ضرایب دقیقاً همان ضرایب و روابط توضیح داده شده در جدول ۳ هستند.

### ۳- نتایج

پس از انجام محاسبات سرشکنی، نتایج به دست آمده به صورتی که در پی می‌آیند، مورد ارزیابی قرار گرفتند.

### ۱- بررسی میزان بهبود دقت پارامترهای مدل ارائه شده

پس از انجام روند سرشکنی، محاسبه پارامترهای انتقال از سیستم مختصات لیزراسکنر به فتوگرامتری و محاسبه پارامترهای اضافه مدل کننده خطای سیستماتیک لیزراسکنر صورت گرفت. پس از آن با محاسبه ماتریس کوواریانس پارامترهای به دست آمده و بررسی میزان وابستگی موجود بین ضرایب، ضرایب

حذف پارامترهای وابسته که با کم کردن تعداد مجهولات باعث خواهد شد نتایج با دقت بهتری بدست آیند و اطمینان به نتایج بدست آمده بالا رود.

### ۷-۲- حذف پارامترهای وابسته

پیش از بررسی میزان بهبود دقت نتایج، به منظور حذف پارامترهای وابسته، بعد از محاسبه مجهولات، ماتریس کوواریانس پارامترهای مجهول محاسبه می‌شود. سپس با جدا کردن ماتریس کوواریانس پارامترهای مدل از پارامترهای توجیه خارجی و محاسبه وابستگی بین آنها از طریق رابطه (۱۳)، ضرایبی که وابستگی آنها با یکدیگر بیش از ۰/۷ است، به عنوان پارامترهای وابسته به هم شناسایی و یکی از آنها حذف می‌شود. برای تشخیص اینکه کدامیک از هر دو ضریب وابسته باید حذف شوند، با مقایسه وابستگی هریک از آنها با دیگر ضرایب و جایه‌جایی در حذف هریک و مقایسه تغییر در بهبود دقت، پارامتر مورد نظر شناسایی و حذف شد.

$$\text{رابطه} \quad (12)$$

$$\rho_{ij} = \frac{\text{cov}_{ij}}{\sqrt{\text{var}_i \cdot \text{var}_j}}$$

در رابطه (۱۲)، cov نشان‌دهنده کوواریانس بین هر دو ضریب  $i$  و  $j$  است و var، واریانس هر ضریب را در ماتریس واریانس - کوواریانس محاسبه شده نشان می‌دهد. طبق بررسی‌های انجام‌شده، وابستگی بین ضرایب  $c_4-a_2$  و  $c_4-c_5$  و  $c_1-c_3$  و  $c_5-a_2$  و  $c_4-c_5$  وجود دارد. در اینجا  $a_2$  آفست پرتوی لیزر،  $c_4, c_3$  عدم تعامل محور افقی و لمب قائم،  $c_5$  خروج از مرکزیت قائم محور کلیماسیون و  $c_1$  خطای مقیاس زاویه قائم را مدل می‌کنند. به منظور حذف پارامترهای وابسته، به ترتیب هریک حذف شدند و دقت نتایج و وابستگی پارامترهای باقی‌مانده از نو ارزیابی شد.

حذف هر یک از پارامترها باعث می‌شود که خطا مقداری افزایش یابد و هرچه تعداد پارامترها بیشتر باشد، خطا کمتر خواهد بود. اما با وجود وابستگی‌ها اطمینان به نتایج بسیار کم خواهد بود. حذف

## ارزیابی پایداری پارامترهای مدلی پارامتریک در کالیبراسیون لیزراسکنر زمینی

دقت کاسته شد، ولی ازانجاكه پارامترهای وابسته حذف شده‌اند، نتایج قابل اعتمادتر خواهند بود. در اینجا اختلاف مختصات تبدیل یافته فتوگرامتری با مشاهده‌های لیزراسکنر فقط به منزله خطای سیستماتیک لیزراسکنر در نظر گرفته می‌شوند. ازانجاكه مشاهده‌های فتوگرامتری و کلاً روش فتوگرامتری در مقایسه با مشاهده‌های لیزراسکنر، روش دقیقی به شمار می‌آید، از خطای روش فتوگرامتری و همچنین خطای Quaternion برای محاسبه پارامترهای Ri Scan Pro اولیه انتقال و خطای موجود در نرم‌افزار در تعیین مختصات مرکز تارگت‌ها، برای یافتن خطای سیستماتیک اسکنر چشم‌پوشی خواهد شد.

پس از اعمال پارامترهای فیزیکی دستگاهی به نتایج و مشاهده نمودارهای باقی‌مانده، تأثیرات سیستماتیک دیگری برای اضافه کردن پارامترهای تجربی به مدل کالیبراسیون در نتایج مشاهده نشد، که علت آن می‌تواند وجود نویزها یا خطاهای تصادفی دیگر باشد. تا این مرحله، پارامترهای کالیبراسیون به دست آمده و میزان بهبود نتایج ارزیابی شدند. در ادامه، صحت پارامترهای به دست آمده مورد بررسی قرار خواهد گرفت.

وابسته حذف شدند. در جدول ۳ میزان RMSE برای فاصله و جهت افقی و زاویه قائم و همین‌طور  $x$  و  $y$  و  $z$  پیش از استفاده از پارامترهای مدل کالیبراسیون و پس بعد از آن محاسبه و ارائه شده است. به گونه‌ای که مشاهده می‌شود علاوه بر مطالب ذکر شده، درصد بهبود دقت نتایج پس از استفاده از مدل مورد نظر به کمک رابطه (۱۶) محاسبه و در جدول ۴ نمایش داده شده است.

رابطه (۱۶)

$\text{درصد بهبود دقت} = [\text{دقت اولیه} / (\text{دقت اولیه} - \text{دقت ثانویه})] * 100$

پس از اعمال کل پارامترهای اضافه و بدون حذف پارامترهای وابسته به مدل‌های سرشکنی، به ترتیب بهبود دقت ۲۶، ۲۳، ۲۳، ۲۴، ۳۸ و ۳۰ درصد در باقی‌مانده‌های  $\rho$  و  $\theta$  و  $\phi$  و  $x$  و  $y$  و  $z$  نقاط چک مشاهده شد، که نشان می‌دهد استفاده از این پارامترها در بهبود دقت بسیار مؤثر است. پس از حذف پارامترهای وابسته به هم، ناپایداری در روند سرشکنی از بین رفت ولی به طوری که در جدول دیده می‌شود، از میزان بهبود دقت اندکی کاسته شد و به مقادیر ۲۶، ۲۱، ۳۷، ۲۰، ۳۷ و ۳۰ درصد در باقی‌مانده‌های  $\rho$  و  $\theta$  و  $x$  و  $y$  و  $z$  رسید. با وجود آنکه اندکی از بهبود

جدول ۴. میزان RMSE داده‌های لیزراسکنر پس از حذف پارامترهای وابسته مدل پیشنهادی و میزان بهبود

RMSE	پارامترهای کالیبراسیون	RMSE اوایله بدون پارامترهای کالیبراسیون	RMSE بعد از اعمال پارامترهای کالیبراسیون	بهمود دقت (درصد)
(پس از حذف ضرایب وابسته)				
RMSE $\rho$ (mm)	۴/۶۶۸	۴/۴۴۶۴		۲۶
RMSE $\theta$ (rad)	۰/۰۰۰۶	۰/۰۰۰۵		۲۱
RMSE $\varphi$ (rad)	۰/۰۰۰۳	۰/۰۰۰۳		۲۰
RMSE x(mm)	۳/۵۸۹۹	۲/۲۶۶۸		۳۷
RMSE y(mm)	۳/۲۲۷۰	۲/۴۷۰۶		۲۳
RMSE z(mm)	۲/۱۸۷۹	۱/۵۴۲۲		۳۰

۴. استفاده از فقط مشاهده‌های با دو صفر لمب افق متفاوت، ایستگاه‌های شماره S2
۵. استفاده از فقط مشاهده‌های با دو ارتفاع مختلف، ایستگاه‌های شماره S1
- به منظور این ارزیابی، در هر یک از حالت‌های گفته شده، ابتدا مقادیر اولیه پارامترهای ترانسفورماتیون محاسبه می‌شوند و در مرحله بعد در یک سرشکنی هم‌زمان پارامترهای توجیه خارجی هر استقرار به همراه پارامترهای مدل مذکور به کمک نقاط کنترل به دست می‌آیند. تست اشتباهات در هر مرحله صورت می‌پذیرد تا در صورت وجود مشاهده‌های اشتباه به طریقی که گفته شد حذف و روند مجدد تکرار شود. در نهایت، پس از انجام سرشکنی در ادامه واپس‌گردی بین پارامترهای به دست آمده بررسی می‌شود و پارامترهای واپس‌گردی حذف می‌شوند و دقت نیز به کمک نقاط چک ارزیابی می‌شود. در جدول ۵ مقادیر RMSE اولیه یعنی پیش از اعمال پارامترهای مدل کالیبراسیون برای مختصات  $x$  و  $y$  و  $z$  و نیز xyz برای هریک از استقرارها مختلف استقرار بر حسب میلی‌متر ارائه شده است.

### ۲-۳- ارزیابی پایداری ضرایب مدل پیشنهادی با تغییر وضعیت ساختار لیزر اسکنر

هدف بخش حاضر این است که تعیین شود کدام دسته از مشاهده‌ها شامل موقعیت‌های مختلف تغییر لمب قائم، تغییر لمب افق، و تغییر ارتفاع، برای کالیبراسیون و محاسبه پارامترها مناسب‌ترند. به عبارت دیگر مدل پیشنهادی در استقرارهای مختلف ارزیابی می‌شوند تا بررسی شود که در صورت داشتن مشاهدات در این استقرارها، دقت چه تغییری می‌کنند و در کدام حالت دقیق‌تر خواهد بود. برای این منظور کل مشاهده‌های لیزر اسکنر به پنج حالت تقسیم می‌شوند:

۱. استفاده از مشاهده‌های فقط با یک استقرار به منظور محاسبه پارامترهای مدل و بررسی دقت، ایستگاه شماره S1
۲. استفاده از فقط سه دسته مشاهده‌های مربوط به سه موقعیت مختلف، ایستگاه‌های شماره S7، S6، S1
۳. استفاده از فقط سه دسته مشاهده‌ها با صفر لمب قائم متفاوت:  $+20^\circ$  درجه، صفر درجه،  $-20^\circ$  درجه، ایستگاه‌های شماره S4، S3، S1

جدول ۵. مقادیر RMSE پیش از اعمال پارامترهای مدل کالیبراسیون برای مختصات  $x$  و  $y$  و  $z$  و نیز xyz برای هریک از استقرارها

نحوه استقرار	RMSE <sub>x</sub> اولیه	RMSE <sub>y</sub> اولیه	RMSE <sub>z</sub> اولیه	RMSE <sub>xyz</sub> اولیه
یک استقرار (A)	۳/۵۹۴۷	۳/۶۹۶۱	۲/۳۹۶۱	۵/۶۸۵۴
سه موقعیت (B)	۳/۵۹۸۷	۳/۲۴۳۴	۲/۱۷۹۹	۵/۳۱۲۴
سه زاویه قائم (C)	۳/۶۴۳۵	۳/۲۵۲۸	۲/۴۹۸۲	۵/۴۸۶۰
دو زاویه افقی (D)	۳/۷۷۳۲	۳/۷۰۵۱	۲/۳۹۲۶	۵/۸۰۴۲
دو ارتفاع (E)	۳/۷۳۳۵	۳/۳۶۶۲	۲/۳۵۱۲	۵/۵۴۹۷
همه حالت‌ها (F)	۳/۵۸۹۹	۳/۲۲۷۰	۲/۱۸۷۹	۵/۲۹۹۸

## ارزیابی پایداری پارامترهای مدلی پارامتریک در کالیبراسیون لیزراسکنر زمینی

جدول ۶. مقادیر RMSE پس از اعمال پارامترهای مدل کالیبراسیون و قبل و بعد از حذف پارامترهای وابسته برای مختصات  $x$  و  $y$  و  $z$

نحوه استقرار	RMSE <sub>x</sub>	RMSE <sub>y</sub>	RMSE <sub>z</sub>	RMSE <sub>xyz</sub>	پارامتر حذفی	RMSE <sub>x</sub> پس از حذف	RMSE <sub>y</sub> پس از حذف	RMSE <sub>z</sub> پس از حذف	RMSE <sub>xyz</sub> پس از حذف
A	۲/۴۴۲۵	۲/۸۲۳۱	۱/۷۴۱۵	۴/۱۱۹۳	$b_4 - c_3 - c_4 - c_5$	۲/۴۴۶۷	۲/۸۲۵۷	۱/۷۵۹۵	۴/۱۳۱۱
B	۲/۲۱۲۰	۲/۴۳۰۴	۱/۵۳۰۰	۳/۶۲۵۰	$c_3 - c_4 - c_5$	۲/۲۱۸۷	۲/۴۳۷۶	۱/۵۳۲۷	۳/۶۳۵۱
C	۲/۲۲۱۳	۲/۴۴۹۸	۱/۵۳۲۰	۳/۶۴۴۵	$b_4 - c_3 - c_4 - c_5$	۲/۲۲۶۵	۲/۴۵۰۱	۱/۵۳۲۹	۳/۶۴۸۳
D	۲/۳۲۱	۲/۶۳۲۱	۱/۶۳۸	۳/۸۷۲۷	$c_3 - c_4 - c_5$	۲/۳۲۷۷	۲/۶۳۵۳	۱/۶۴۲۱	۳/۸۸۰۶
E	۲/۳۸۱۳	۲/۷۹۳۳	۱/۵۳۶۷	۳/۷۹۹۳	$b_4 - c_3 - c_4 - c_5$	۲/۳۸۷۷	۲/۸۰۱۱	۱/۵۳۹۸	۳/۹۸۹۸
F	۲/۲۳۷۷	۲/۴۵۴۰	۱/۵۳۳۳	۳/۶۵۷۹	$c_3 - c_4 - c_5$	۲/۶۶۶۸	۲/۴۷۰۶	۱/۵۴۲۲	۳/۹۴۸۹

فتوگرامتری اعمال شد. دقت نهایی تعیین مختصات در روش فتوگرامتری برابر  $۰/۸۶۶۱$  و  $۰/۹۸۷۸$  و  $۰/۷۸۹۴$  برای  $x$  و  $y$  و  $z$  به دست آمد.

پس از آن با انجام ترانسفورماتیون داده‌های لیزراسکنر به مختصات‌های فتوگرامتری و محاسبه پارامترهای مدل پیشنهادی و بررسی دقت قبل و بعد از اعمال مدل به داده‌ها با دقت داده‌های فتوگرامتری، بهمیزان  $۳۷$  و  $۲۳$  و  $۳۰$  درصد بهبود دقت در مختصات نقاط پس از اعمال مدل دیده شد. از آنجاکه مدل مذکور فقط شامل پارامترهای فیزیکی و براساس ساختار داخلی لیزراسکنر است و پارامتر تجربی را شامل نمی‌شود، می‌تواند برای انواع مختلف لیزراسکنرها به کار رود. در ادامه پایداری ضرایب و روند بهبود با تغییر وضعیت دستگاه بررسی شد و نشان داد که با تغییرات ساختار دستگاه و برداشت مشاهده‌های مختلف برای این نوع لیزراسکنر، وابستگی ضرایب تقریباً مشابه است. در سه حالت مشاهده شده، A یعنی یک استقرار، C یعنی سه زاویه قائم، و E یعنی دو ارتفاع مختلف، پارامتر  $b_2$  نیز مدل کننده خطای محور افقی است و در حالت دو ارتفاع مختلف، پارامتر  $c_1$  که مربوط به فاکتور مقیاس در زاویه قائم هستند، به پارامترهای حذف شده

پس از محاسبه مقادیر پارامترهای کالیبراسیون و اعمال آنها به مشاهدات و محاسبه اختلاف با مختصات فتوگرامتری، مجدداً RMSE‌های  $x$  و  $y$  و  $z$  و  $xyz$  محاسبه می‌شوند – که در جدول ۵ مقادیر آنها برای حالت‌های مختلف آمده است. پس از آن، بعد از محاسبه ماتریس کوواریانس در هر حالت و بررسی میزان وابستگی‌ها، پارامترهای وابسته مؤثر حذف و مجدداً RMSE‌ها محاسبه می‌شوند. جدول ۶ مقادیر محاسبه شده در این حالت را نشان می‌دهد.

### ۴- بحث و نتیجه‌گیری

هدف اصلی در این مقاله کالیبراسیون لیزراسکنر زمینی با مدل پیشنهادی بود که به طور کامل مورد ارزیابی و بحث و بررسی قرار گرفت. ابتدا برای بررسی دقت لیزراسکنر نیاز به تعیین مختصات دقیق نقاط بود که روش فتوگرامتری به عنوان روش دقیق در تعیین مختصات برای آن در نظر گرفته شد. به منظور تعیین مختصات دقیق تارگت‌ها در مقیاس واقعی، مختصات تعدادی از تارگت‌ها از طریق توتال استیشن محاسبه و به صورت نقاط کنترل در محاسبات سرشکنی روش

به اینکه هیچیک از روش‌های دیگر پژوهشگران به دقت مدل پیشنهادی نرسیده‌اند، می‌توان نتیجه گرفت که پارامترهای تجربی به کاررفته درخصوص دستگاه‌های مذکور در اکثر مواقع درخصوص همان دستگاه و مشاهدات صورت‌پذیرفته جوابگو هستند.

مدل ارائه شده در این پژوهش برای کالیبراسیون Time of Flight هستند. درخصوص دستگاه‌هایی که اندازه‌گیری فاصله را به روش‌های دیگری مانند مقایسه فازی انجام می‌دهند، ممکن است پارامترهای فیزیکی دیگری نیز به مدل اضافه شوند. لازم است پژوهش‌های بیشتری درخصوص ساختار این نوع دستگاه‌ها و تفاوت‌های احتمالی انجام پذیرد. افزون بر آن، در پژوهش حاضر پایداری پارامترهای مدل پیشنهادی در بازه زمانی بهدلیل محدودیت زمانی صورت نگرفت. پیشنهاد می‌شود در بازه زمانی مشخصی پروژه تکرار و نتایج ارزیابی شوند تا به این ترتیب پارامترهای نایابدار از مدل حذف شوند.

## ۵- منابع

Chow et al., 2006, **Error Budget of Terrestrial Laser Scanning: Influence of the Intensity Remission on the Scan Quality**, photogrammetry and remote sensing, No. 63, PP. 169-180.

Gielsdorf, F., Rietdorf, A., Gruendig, G., 2004, **A Concept for the Calibration of Laser Scanner**, In Optical 3-D Measurment Techniques, VII, A. Gruen/H. Kahmen (Eds), Vol. II, PP. 359-364.

Hofle, B. et al., 2007, **Correction of Laser Scanning Intensity Data: Data and Model-driven Approaches**, Photogrammetry and Remote Sensing, No. 70, PP. 415-433.

C<sub>3</sub> و C<sub>5</sub> اضافه شدند. سه پارامتر C<sub>4</sub>, C<sub>3</sub> و C<sub>5</sub> که مدل کننده عدم تعامل محور افقی و لمب قائم و خروج از مرکزیت قائم محور کلیماسیون هستند، در تمامی موارد حذف شدند. اما پایداری نسبی درخصوص دیگر پارامترهای مدل مذکور وجود دارد.

علاوه بر اینها، دیده شده است که در یک استقرار فقط کمترین میزان بهبود دقت اتفاق می‌افتد. بنابراین توصیه می‌شود که هیچ‌گاه داده‌ها فقط از یک استقرار برداشت نشوند و حتی اگر با یک استقرار نیز کل محدوده قابل برداشت باشد، برای دستیابی به نتایج دقیق‌تر، برحسب زمان و هزینه برداشت اسکنر از موقعیت‌های دیگری نیز انجام گیرد.

در حالت استقرار در سه موقعیت متفاوت، بهترین بهبود دقت اتفاق می‌افتد و پس از آن استقرار در یک مکان و تغییر در زاویه قائم دستگاه شامل سه زاویه قائم، بهترین بهبود دقت را دارد. بنابراین توصیه می‌شود که از این دو حالت در هنگام برداشت داده بهوسیله لیزراسکنر استفاده شود.

در مقایسه با مدل‌های دیگر، از آنچاکه مدل مذکور فقط پارامترهای فیزیکی و براساس ساختار داخلی لیزراسکنر را دربرمی‌گیرد و شامل پارامتر تجربی نمی‌شود، می‌تواند برای انواع مختلف لیزراسکنرها به کار رود. زمانی که روابط مدل برای  $\Delta\theta$  یا  $\Delta\varphi$  وجود ندارد، در مقایسه با زمانی که برای هر سه دسته مشاهدات  $\rho$ ،  $\theta$  و  $\varphi$  روابط تصحیح خطأ نوشته می‌شود، بهبود دقت کمتر خواهد بود.

در مقایسه با مدل‌های دیگر بهنظر می‌رسد با اینکه بهبود دقت در تمام مدل‌های ذکرشده وجود دارد اما هیچ‌یک از روابط نتوانستند به بهبود دقت مدل پیشنهادی برسند و بیشترین بهبود زمانی حاصل شد که از مدل کالیبراسیون پیشنهادی استفاده شد. افزون بر این، هر فرمولی که از پارامترهای فیزیکی غیروابسته بیشتری درخصوص خطاهای داخلی دستگاه استفاده کرده، موجب بهبود دقت بیشتری شده است. با توجه

Kaasalainen, S. et al., Kaartinen, A., 2009, **Radiometric Calibration of tIs with External Reference Targets**, Proceeding of the Institute of Electrical and Electronics Engineere (IEEE), 72 (12), PP. 1671-1684.

Lichti, D.D. et al., 2006, **Experiences with Terrestrial Laser Scanner Modeling and Accuracy Assessment**, ISPRS Journal of Photogrammetry and Remote Sensing, Volume XXXVI, Part 5, PP. 25-27.

Lichti, D.D., 2008, **A Method to Test Differences Between Additional Parameter Sets with a Case Study in Terrestrial Laser Scanner Self-**

**calibaration Stability Analysis,**  
Photogrammetry and Remote Sensing,  
No. 63, PP. 169-180.

Neitzel, F., 2003, **Investigation of Axes Errors of Terrestrial Laser Scanners**, Proceeding of the ISPRS Journal of Photogrammetry and Remote Sensing, V/5, Vol. XXXVI-5/W8, ISSN 1682-1750.

Reshetyuk, Y., 2006, **Calibration of tIs for the Purposes of Geodetic Engineering**, International Archives of Photogrammetry and Remote Sensing, Vol. XXXV, Part B5, Proceedings of the ISPRS working group V/2, Istanbul, PP. 222-227.

